УДК 669.721'859'864.5:539.27

ВЛИЯНИЕ ДОБАВОК ЦИНКА И СКАНДИЯ НА СВОЙСТВА СПЛАВА Mg-Y-Gd-Sm-Zr¹

©2024 г. Е.А. Лукьянова 1* , И.Е. Тарытина 1* , О.В. Рыбальченко 1* , Н.С. Мартыненко 1* , Г.В. Рыбальченко 2* , Д.Р. Темралиева 1* , Т.Н. Пенкина 1* , Т.В. Добаткина 1* , С.В. Добаткин 1*

^{1*}ФГБУН Институт металлургии и материаловедения им. А.А. Байкова (ИМЕТ) РАН, Москва Е-mail: helenelukyanova@gmail.com ^{2*}ФГБУН Физический институт им. П.Н. Лебедева РАН, Москва Поступила в редакцию 15 апреля 2024 г.
После доработки 4 июня 2024 г. принята к публикации 7 июня 2024 г.

Исследовано влияние добавок раздельно цинка (до 1 мас.%), скандия (до 2 мас.%) и совместно цинка и скандия на структуру и механические свойства магниевого сплава ИМВ7-1 системы Mg-Y-Gd-Zr, содержащего 2 мас.% Sm. Изучена кинетика распада пересыщенного твердого раствора на основе магния в процессе старения при 175, 200, 225 и 250 °C. Установлено, что при введении цинка в структуре образуется пластинчатая фаза, соответствующая тройному соединению магния, редкоземельных металлов и цинка, тогда как в случае введения скандия он только растворяется в магниевом твердом растворе. Добавка цинка приводит к необходимости снижения температуры обработки на твердый раствор, а скандий ее повышает. Сплавы с добавками совместно цинка и скандия упрочняются при старении, при этом цинк способствует упрочнению при более низких температурах старения, а скандий — при более высоких. Цинк и скандий повышают устойчивость магниевого твердого раствора и приводят к замедлению его распада при старении.

Ключевые слова: магниевые сплавы; редкоземельные металлы; распад твердого раствора; механические свойства.

Магниевые сплавы — одни из наиболее перспективных конструкционных материалов с превосходной удельной прочностью, низкой плотностью и возможностью энергопоглощения. Использование изделий из магниевых сплавов позволяет увеличить весовую эффективность, снизить расход топлива и улучшить динамические характеристики транспортных средств, особенно в автомобильной, авиационной и космической отраслях [1-6]. Ожидается, что потребность в применении магниевых сплавов продолжит расти, поэтому важны исследования и разработки, направленные на улучшение их свойств и производственных технологий.

Высокие прочностные свойства магниевых сплавов, в том числе при повышенных температурах, могут быть обеспечены легированием магия редкоземельными металлами (РЗМ) [5]. В настоящее время большое внимание уделяется исследованию магниевых сплавов с иттрием и гадолинием [7—17], при добавке которых достигается наилучший комплекс свойств. Одним из сплавов системы Mg-Y-Gd-Zr, который был разработан в ИМЕТ РАН совместно с ВИЛС и ВИАМ (Всероссийские научно-исследовательские институты легких сплавов и авиационных материалов соответственно), является высокопрочный сплав ИМВ7-1, содержащий 2 5,0— 6,5% Y, 3,5—5,5% Gd и 0,15—0,7% Zr [18]. Однако для дальнейшего улучшения свойств сплавов, технологии их обработки и снижения содержания дорогостоящих иттрия и гадолиния следует считать целесообразным

¹Работа выполнена в соответствии с государственным заданием № 075-00320-24-00. Исследование распределения элементного состава образцов выполнено с использованием оборудования Центра коллективного пользования ФИАН «Центр по исследованию высокотемпературных сверхпроводников и других сильнокоррелированных электронных систем»

²Здесь и далее в статье содержание элементов в мас.%.

использование и других РЗМ в качестве дополнительных легирующих элементов. Для сплава ИМВ7-1 такой добавкой может стать самарий. Самарий хорошо упрочняет магний [19, 20], сокращает длительность упрочняющей термической обработки (ТО) старением сплава ИМВ7-1 [21, 22] и имеет меньшую, чем у иттрия и гадолиния, максимальную в нем растворимость [5], что позволяет использовать его в малых количествах. Исследованиями системы Mg-Y-Gd-Sm, ее фазовых равновесий [23, 24] и свойств сплавов на ее основе доказана целесообразность введения в сплав ИМВ7-1 добавки самария до 2%.

Настоящее исследование проводилось с целью изучения действия дополнительных легирующих элементов на сплав системы Mg-Y-Gd-Sm-Zr, отличных от тех, что входят в его состав, по их влиянию на прочностные свойства сплава и характер его упрочнения при ТО. В качестве дополнительных элементов рассматривались цинк и скандий. Цинк — одна из наиболее распространенных легирующих добавок, которая совместно с РЗМ может обеспечивать высокие механические свойства магниевых сплавов в результате образования упорядоченной фазы с длинным периодом упаковки атомов (LPSO) [25—33]. К настоящему времени проведено большое число исследований иттриево-гадолиниевых сплавов с цинком Mg-Y-Gd-Zn-(Zr) [29—35], также известны работы по сплавам с совместным содержанием самария, иттрия и цинка — Mg-Y-Sm-Zn-Zr [36—38], самария, гадолиния и цинка — Mg-Gd-Sm-Zn-Zr [39, 40]. Цинк входит в состав ранее разработанных высокопрочных сплавов ИМВ10, ВМД16. Влияние добавки скандия изучено мало. Скандий снижает скорость коррозии [41], а в сочетании с марганцем упрочняет магниевые сплавы, содержащие РЗМ [42—44]. Скандий входит в состав разработанных сплавов ИМВ5, ИМВ5-1 [45].

Материалы и методы исследования. В качестве основного выбран сплав типа ИМВ7-1 с добавкой самария номинального состава Mg-5% Y-5% Gd-2% Sm-0,5% Zr, в котором содержание РЗМ находится в пределах их совместной максимальной растворимости в магниевом твердом растворе [24]. На выбранный сплав рассматривалось влияние раздельных добавок 0,5 и 1% Zn, 1 и 2% Sc, а также их совместной добавки, содержащей 1% Zn + 1% Sc.

Выплавку сплавов осуществляли в электрической печи сопротивления в железном тигле в защитной среде из смеси $N_2 + SF_6$ для предотвращения возгорания расплава. В качестве шихтовых материалов использовали магний Мг96 (>99,96% Мg), иттрий ИтМ-1 (>99,83% Y), гадолиний ГдМ-1 (>99,85% Gd), самарий CмM-1(>99,83% Sm), скандий CкM-1 (>99,99% Sc), цинк Ц0 (99,975% Zn). В расплав РЗМ вводили в виде предварительно выплавленных лигатур: Mg-28,5% Y, Mg-39,2% Gd, Mg-36,4% Sm, Mg-9,3% Sc; цинк в чистом виде; цирконий — в виде промышленной лигатуры Mg-9,6% Zr. Отливки получали в стальной изложнице диаметром 36 мм, которую предварительно перед заполнением расплавом нагревали до 350 °C.

Химический анализ отливок выполняли на оптическом эмиссионном спектрометре с индуктивно-связанной плазмой Plasma 3500 (NCS Testing Technology Co., Ltd, Пекин, Китай). Для растворения образцов использовали смесь соляной и азотной кислот в соотношении 1:3. Номинальный и фактический (по химическому анализу) составы сплавов представлены в табл. 1.

Таблица 1 Химический состав сплавов Mg-Y-Gd-Sm-Zr с добавками цинка и скандия: в числителе состав по шихте; в знаменателе состав по химическому анализу

№ п.п.	Содержание элемента, мас.%								
	Y	Gd	Sm	Zn	Sc	Zr			
1	5/4,19	5/4,42	2/2,01	-/-	-/-	1/0,33			
2	5/4,74	5/4,52	2/2,11	0,5/0,59	-/-	1/0,84			
3	5/5,02	5/4,44	2/1,98	1/1,00	-/-	1/1,07			
4	5/4,85	5/4,50	2/1,78	-/-	1/1,19	1/0,91			
5	5/4,90	5/4,45	2/1,80	—/—	2/2,09	1/0,72			
6	5/5,06	5/4,31	2/2,22	1/1,08	1/1,34	1/0,84			

Для проведения ТО полученных слитков сплавов определяли температуры фазовых превращений методом дифференциально-термического анализа (ДТА) на дифференциальном сканирующем калориметре DSC 404 F3 Pegasus[®] фирмы NETZSCH (Зельб, Германия) в защитной среде аргона высокой чистоты в корундовых (Al_2O_3) тиглях. Масса исследуемых образцов составляла ~10 мг. Образцы нагревали в диапазоне температур от 20 до 600 °C со скоростью 10 °C/мин.

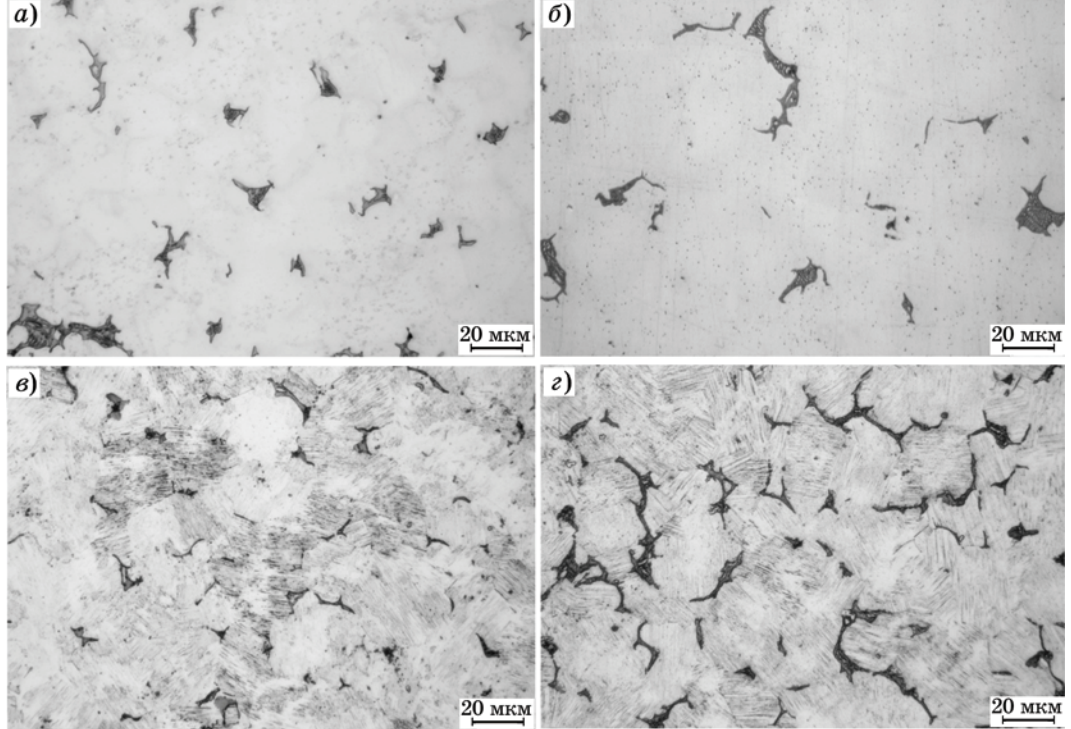
Микроструктуру сплавов исследовали в литом, гомогенизированном, а также в дополнительно состаренном состояниях на оптическом микроскопе ADF I350 (ADF OPTICS Co. Ltd, Ханчжоу, Китай) в световом поле после химического травления с использованием 30%-ной H_3PO_4 в спирте для выявления структурных составляющих. Распределение элементного состава изучали с помощью сканирующего электронного микроскопа JSM-7001F (JEOL, Япония), оборудованного энергодисперсионным спектрометром.

Кинетику распада магниевого твердого раствора сплавов после гомогенизации изучали методами измерения твердости и удельного электросопротивления в процессе изотермического старения при температурах 175, 200, 225 и 250 °C с выдержками длительно-

стью до 216 ч. Твердость определяли по методу Бринелля (ГОСТ 9012—59) на твердомере ИТ 5010-01М (ООО «НТ» ЗИП, Иваново, Россия) под нагрузкой 612,9 Н (62,5 кгс) с использованием в качестве индентора стального шарика диаметром 2,5 мм. Удельное электросопротивление сплавов измерялось с помощью микроомметра БСЗ-010-2 (АО «НИИЭМП», Пенза, Россия) при комнатной температуре на цилиндрических образцах диаметром 6 мм. Расстояние между клеммами, на которых устанавливался образец, составляло 21,8 мм, погрешность измерений не превышала ±0,7%.

Механические свойства исследуемых сплавов определяли после гомогенизации. Испытания проводили при комнатной температуре на универсальной испытательной машине Instron 3382 (Instron, Illinois Tool Works Inc., Хай-Уиком, Великобритания) со скоростью нагружения 1 мм/мин путем растяжения цилиндрических образцов диаметром 5 и рабочей длиной 28 мм.

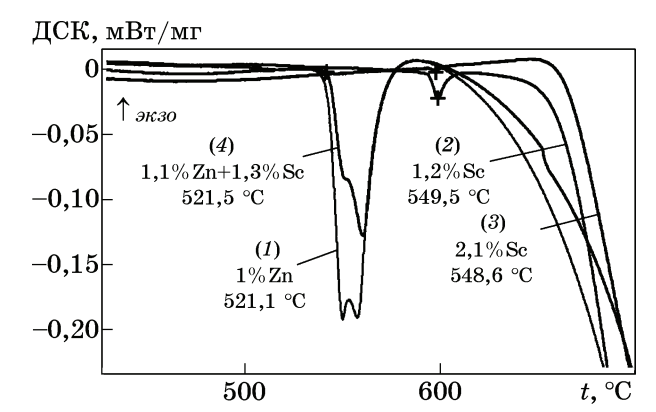
Результаты исследования и их обсуждение. На фиг. 1 показаны микроструктуры сплавов в литом состоянии. Наряду со светлым магниевым твердым раствором (Mg) во всех сплавах присутствовала неравновесная интерметаллидная фаза темного цвета,



Фиг. 1. Микроструктуры сплавов в литом состоянии: a — Mg-4,2% Y-4,4% Gd-2% Sm-0,3% Zr; δ — Mg-4,9% Y-4,5% Gd-1,8% Sm-1,2% Sc-0,9% Zr; δ — Mg-4,7% Y-4,5% Gd-2,1% Sm-0,6% Zn-0,8% Zr; ε — Mg-5,1% Y-4,3% Gd-2,2% Sm-1,1% Zn-1,3% Sc-0,8% Zr

богатая РЗМ и имеющая морфологию «fish bone» эвтектического типа. Как установлено при изучении фазовых равновесий в системе Mg-Y-Gd-Sm [23], в равновесии с магниевым твердым раствором могут находиться соединения $Mg_{41}Sm_5$ и $Mg_{24}(Y,Gd)_5$; иттрий, гадолиний и самарий при этом растворяются в их соединениях между собой и с магнием. Учитывая количество РЗМ и морфологию фазы, предположили, что в сплаве без добавок цинка и скандия (см. фиг. 1, а) совместно с магниевым твердым раствором (Mg) присутствует интерметаллидная фаза $Mg_{24}(Y,Gd,Sm)_5$. На фиг. 1, б представлена микроструктура литого сплава с добавкой 1,2% Sc. Различий в структурах сплавов с добавками скандия в количестве 1,2 и 2,1%, а также сплава без дополнительных добавок не наблюдалось. При исследовании системы Mg-Y-Sc [46] показано, что скандий имеет значительную растворимость в твердом магнии и практически не растворяется в соединении Мg₂₄Y₅. Вероятно, что в этих сплавах скандий присутствует лишь в составе твердого раствора (Mg). В сплавах же с добавкой цинка, в том числе совместно со скандием, помимо магниевого твердого раствора (Mg) и соединения $Mg_{24}(Y,Gd,Sm)_5$, в котором также может растворяться цинк, присутствовала пластинчатая фаза (фиг. $1, \varepsilon, \varepsilon$). На основании данных работы [34] можно полагать, что эта пластинчатая фаза обогащена цинком и является тройным соединением Mg₁₂Zn(Y, Gd, Sm), или так называемой LPSOфазой.

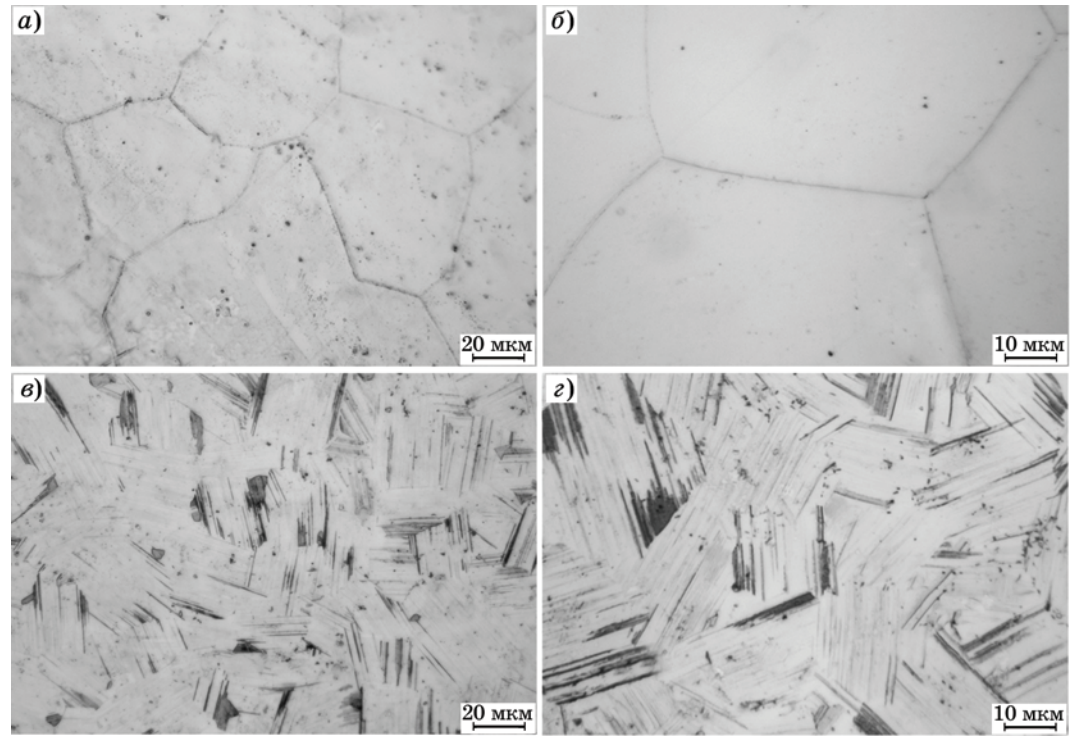
Для приведения структуры литых сплавов в равновесное состояние путем гомогенизации слитков необходимо было определить температуры фазовых превращений,



Фиг. 2. Дифференциальные кривые с эндотермическим эффектом, записанные для сплавов: Mg-5% Y-4,4% Gd-2% Sm-1% Zn-1,1% Zr (1); Mg-4,9% Y-4,5% Gd-1,8% Sm-1,2% Sc-0,9% Zr (2); Mg-4,9% Y-4,5% Gd-1,8% Sm-2,1% Sc-0,7% Zr (3); Mg-5,1% Y-4,3% Gd-2,2% Sm-1,1% Zn-1,3% Sc-0,8% Zr (4)

протекающих в сплаве. На фиг. 2 представлены результаты ДТА сплавов с цинком, скандием и совместной добавкой (Zn + Sc). Температуру гомогенизации следовало рассматривать на ~20 °C ниже установленных температур фазового перехода. Ранее было установлено [23], что в системе Mg-Y-Gd-Sm в области сплавов, богатых магнием, при 536 °C имеет место четырехфазное нонвариантное превращение переходного типа. Из полученных дифференциальных кривых можно видеть, что в сплавах с добавкой цинка, в том числе совместной со скандием, температура фазового превращения понижается, тогда как в сплавах только со скандием она возрастает. В табл. 2 приведены результаты определения температур фазовых превращений и выбранные в соответствии с ними температуры гомогенизации. Для спла-Mg-4,7% Y-4,5% Gd-2,1% Sm-0,6% Zn- $0.8\%\,\mathrm{Zr}\,\mathrm{c}$ меньшей добавкой цинка (0.6%) ДТА

Сплав	$t_{ m \phi.\pi}$, °C	$t_{\scriptscriptstyle \mathrm{POM}}$, °C
Mg-4,2% Y-4,4% Gd-2% Sm-0,3% Zr	536 [23]	515
Mg-4,7%Y-4,5%Gd-2,1%Sm-0,6%Zn-0,8%Zr	_	500
Mg-5%Y-4,4%Gd-2%Sm-1%Zn-1,1%Zr	521,1	500
Mg-4,9%Y-4,5%Gd-1,8%Sm-1,2%Sc-0,9%Zr	549,5	530
Mg-4,9%Y-4,5%Gd-1,8%Sm-2,1%Se-0,7%Zr	548,6	530
Mg-5,1% Y-4,3% Gd-2,2% Sm-1,1% Zn-1,3% Sc-0,8% Zr	521,5	500



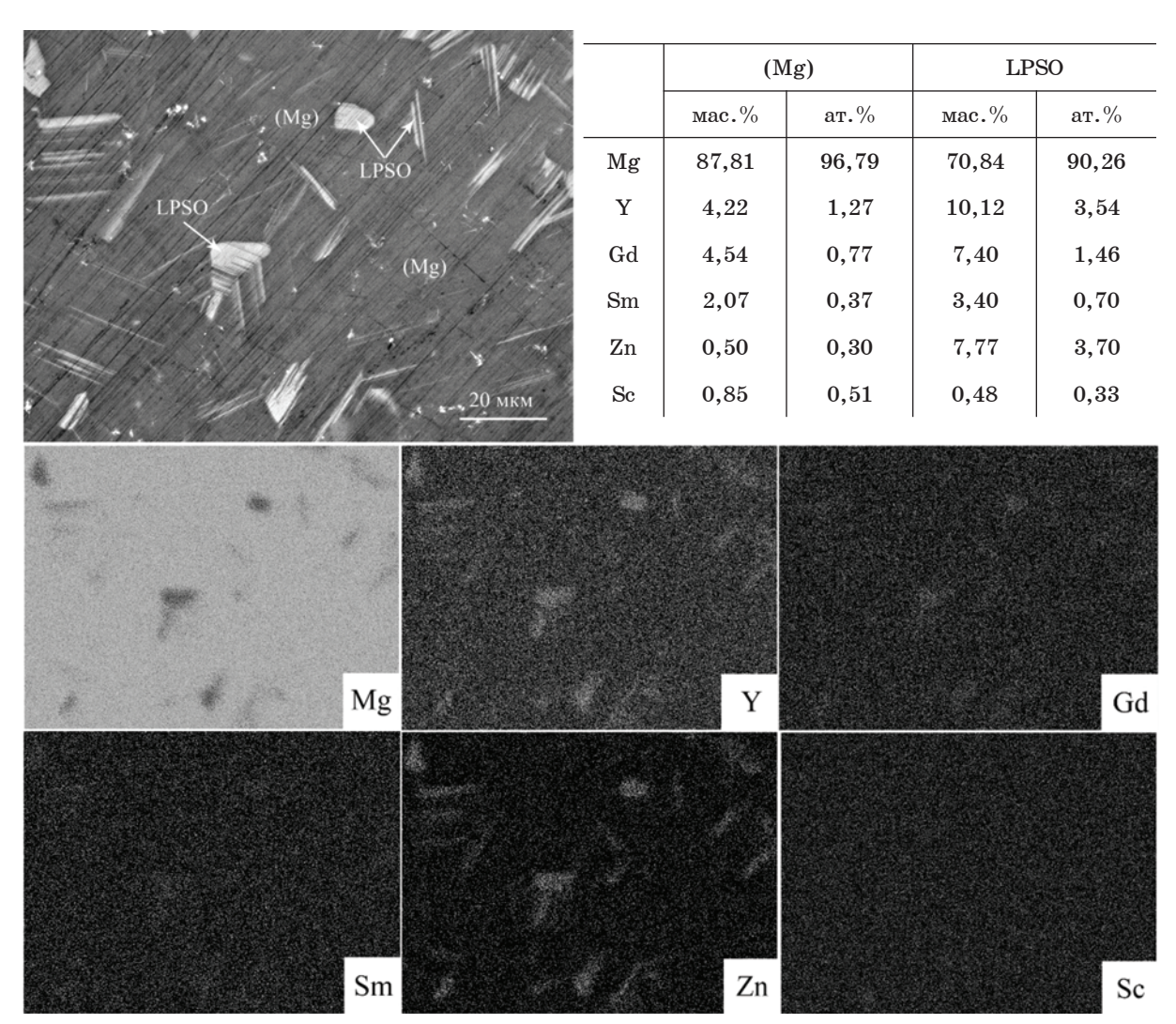
Фиг. 3. Микроструктуры сплавов после гомогенизации: a - Mg-4,2% Y-4,4% Gd-2% Sm-0,3% Zr; $\delta - \text{Mg-4},9\% \text{Y-4},5\% \text{Gd-1},8\% \text{Sm-1},2\% \text{Sc-0},9\% \text{Zr};$ $\delta - \text{Mg-5}\% \text{Y-4},4\% \text{Gd-2}\% \text{Sm-1}\% \text{Zn-1},1\% \text{Zr};$ $\epsilon - \text{Mg-5},1\% \text{Y-4},3\% \text{Gd-2},2\% \text{Sm-1},1\% \text{Zn-1},3\% \text{Sc-0},8\% \text{Zr}$

не проводили, однако температура гомогенизации была выбрана такой же (500 °C), как и для сплава с большим его содержанием (1%). Длительность выдержки при гомогенизации для всех сплавов составляла 12 ч с последующим охлаждением на воздухе. В сплавах магния с РЗМ охлаждение на воздухе обеспечивает скорость охлаждения, препятствующую протеканию распада пересыщенного твердого раствора.

На фиг. 3 показана микроструктура сплавов в гомогенизированном состоянии. Гомогенизация при выбранных температурах привела к полному растворению богатой РЗМ фазы эвтектического типа $Mg_{24}(Y,Gd,Sm)_5$ во всех сплавах. В сплаве без добавок цинка и скандия (фиг. 3, a) и в сплавах только с добавкой скандия (фиг. 3, δ) структура состояла из светлых зерен магниевого твердого раствора (Mg) с отдельными небольшими черными кристаллами α-Zr, другие фазы отсутствовали. В сплавах с цинком (фиг. 3, в) после гомогенизации сохранилась пластинчатая LPSO-фаза, которая стала крупнее, более четко очерченной и местами имела блочную морфологию. Стоит отметить, что присутствие скандия в сплаве, содержащем цинк (фиг. 3, г), не привело к видимым изменениям в

структуре: сплавы Mg-5% Y-4,4% Gd-2% Sm-1% Zn-1,1% Zr (фиг. 3, \mathfrak{s}) и Mg-5,1% Y-4,3% Gd-2,2% Sm-1,1% Zn-1,3% Sc-0,8% Zr (фиг. 3, \mathfrak{s}) выглядят идентичными.

Для многокомпонентного сплава Mg-5,1% Y-4,3% Gd-2,2% Sm-1,1% Zn-1,3% Sc-0,8% Zr с помощью сканирующего электронного микроскопа проводили построение карт элементного состава и определяли состав видимых фаз. На фиг. 4 представлены микроструктура сплава в гомогенизированном состоянии в режиме вторичной электронной эмиссии, средний состав фаз, определенный по пяти спектрам, и распределение элементов в исследуемой области. На микроструктуре магниевый твердый раствор (Mg) имеет темный цвет, тогда как вторая фаза (LPSO), богатая более тяжелыми РЗМ и цинком, светлая. Согласно полученным результатам в обеих фазах присутствовал каждый из компонентов сплава, за исключением α-Zr, дисперсные кристаллы которого существуют отдельно. В твердом растворе на основе магния (Mg) наибольшую растворимость имеет иттрий ($\sim 1,27$ ат.%), немного меньше растворяются гадолиний (~0,77 ат.%) и скандий $(\sim 0.51 \text{ at.}\%)$, а затем самарий $(\sim 0.37 \text{ at.}\%)$ и цинк (~0,30 ат.%); доля магния составила



Фиг. 4. Микроструктура сплава Mg-5.1% Y-4.3% Gd-2.2% Sm-1.1% Zn-1.3% Sc-0.8% Zr, полученная в режиме вторичной электронной эмиссии; состав фаз по результатам рентгеноспектрального микроанализа и картирование элементного состава

96,79 ат.%. Указанный состав магниевого твердого раствора (Mg) после гомогенизации можно считать предельно насыщенным. В фазе LPSO больше всего растворились цинк (~3,70 ат.%) и иттрий (~3,54 ат.%), затем гадолиний (~1,46 ат.%) и менее всего — самарий (~0,70 ат.%) и скандий (~0,33 ат.%). Стоит отметить, что растворимость скандия выше именно в магниевом твердом растворе, чем в богатой РЗМ и цинком фазе, тогда как иттрий, гадолиний и самарий в ней растворяются в ~2 раза больше, а цинк — в ~12 раз.

В гомогенизированном состоянии определяли механические свойства сплавов при испытаниях на растяжение при комнатной температуре. Результаты механических испытаний представлены в табл. 3. С увеличением содержания цинка предел прочности и относительное удлинение возрастали, так

что добавка цинка в целом могла способствовать повышению предела прочности и пластичности сплава Mg-Y-Gd-Sm-Zr в гомогенизированном состоянии. Скандий с повышением его содержания скорее снижал как прочностные, так и пластические характеристики. Сплав, содержащий как цинк, так и скандий, показал такой же уровень механических характеристик, как и сплав, не содержащий добавок цинка и скандия.

Поскольку в целом гомогенизация обеспечила образование пересыщенного магниевого твердого раствора, предполагался возможным его распад при последующем старении, который должен сопровождаться дополнительным упрочнением. Влияние цинка, скандия и их совместной добавки (Zn + Sc) на упрочнение сплава Mg-Y-Gd-Sm-Zr за счет распада пересыщенного магниевого твердо-

Сплав	$\sigma_{\scriptscriptstyle B}$	$\sigma_{0,2}$	δ. %	
Chinab	MI	0, 70		
Mg-4,2% Y-4,4% Gd-2% Sm-0,3% Zr	215±7	182±4	2,4±0,9	
Mg-4,7%Y-4,5%Gd-2,1%Sm-0,6%Zn-0,8%Zr	231±3	188±5	2,8±0,4	
Mg-5%Y-4,4%Gd-2%Sm-1%Zn-1,1%Zr	245±18	187±1	5,2±2,9	
Mg-4,9%Y-4,5%Gd-1,8%Sm-1,2%Sc-0,9%Zr	215±2	182±17	$1,9\pm0,2$	
Mg-4,9%Y-4,5%Gd-1,8%Sm-2,1%Sc-0,7%Zr	181±16	177±14	0,6±0,3	

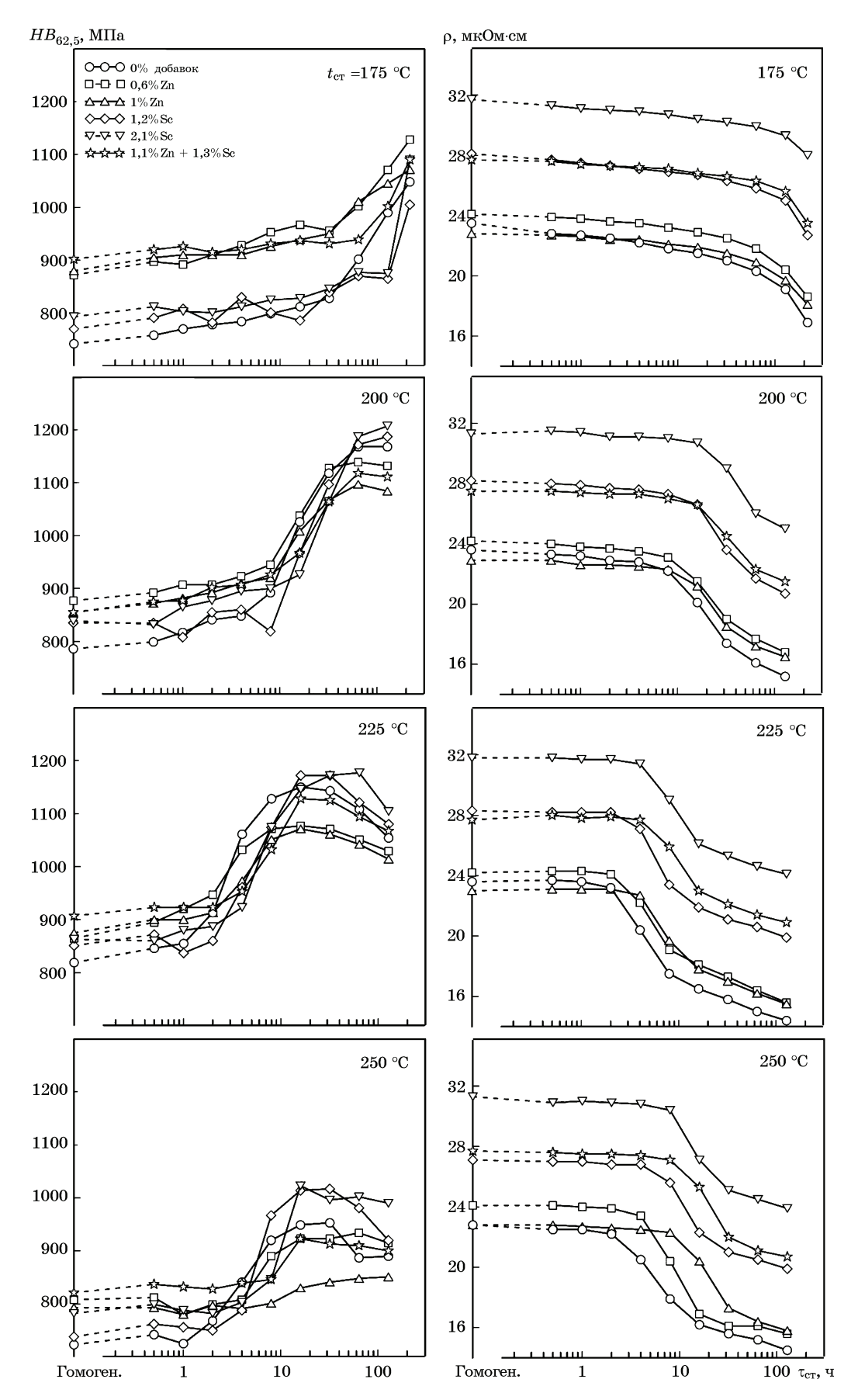
Mg-5.1% Y-4.3% Gd-2.2% Sm-1.1% Zn-1.3% Sc-0.8% Zr

го раствора изучали методами измерения твердости и удельного электросопротивления в процессе старения при температурах 175, 200, 225 и 250 °C (фиг. 5). При всех рассматриваемых температурах старения наблюдалось упрочнение сплавов с повышением твердости и снижением удельного электросопротивления. Ход кривых изменения твердости являлся типичным для магниевых сплавов с РЗМ иттриевой подгруппы [5]. Он характеризовался небольшим повышением твердости на начальной стадии старения и резким ее повышением до максимума при увеличении длительности старения. При самой низкой температуре старения 175 °C максимум твердости всех сплавов в рассматриваемом интервале выдержек до 216 ч не достигался. Значения твердости для сплавов с 0,6 и 1% Zn мало различались между собой, но были больше, чем в сплаве без добавок. При этом добавка цинка не меняла характер кинетики старения и длительность каждой из ее стадий. Значения удельного электросопротивления в сплавах с цинком были достаточно близки между собой как для сплавов с разным его содержанием, так и для сплава без добавок. Это говорит о том, что цинк мало насыщает магниевый твердый раствор и в основном присутствует в тройном соединении LPSO-фазы. По мере увеличения длительности старения удельное электросопротивление плавно снижалось, свидетельствуя об обеднении матрицы магниевого твердого раствора в результате его распада при формировании богатых РЗМ выделений. В сплавах с добавками 1,2 и 2,1% Sc при 175 °C стадия небольшого повышения твердости была более длительной,

твердость начинала значительно возрастать лишь после выдержки 128 ч. В то же время в сплаве Mg-Y-Gd-Sm-Zr без дополнительных добавок вторая стадия повышения твердости начиналась с выдержки 32 ч. Удельное электросопротивление возрастало в зависимости от содержания скандия последовательно от сплава без добавок к сплаву с 1,2% Sc и от сплава с 1,2% Ѕс к сплаву с 2,1% Ѕс, однако в общем снижалось с увеличением длительности старения в результате распада пересыщенного твердого раствора. Поведение сплава с совместной добавкой (Zn + Sc) при старении сочетало в себе характер упрочнения сплавов с цинком и скандием. Уровень твердости соответствовал твердости сплава с 1% Zn, но стадия заметного ее повышения смещалась в сторону более длительных выдержек. Значения удельного электросопротивления сплава с 1,1% Zn и 1,3% Sc были практически одинаковыми со значениями р для сплава с 1,2% Sc.

 220 ± 27

При температуре старения 200 °C в обоих сплавах с добавкой цинка на кривых изменения твердости достигался максимум, который соответствовал выдержке 64 ч. Значения твердости сплава с меньшим содержанием цинка (0,6%) оказались несколько выше, чем в сплаве с добавкой 1% Zn. В целом цинк не обеспечил дополнительного упрочнения сплава Mg-Y-Gd-Sm-Zr в области значительного возрастания твердости. Твердость сплавов с цинком была несколько выше, чем у сплава без добавок, лишь при небольших значениях выдержки при старении (до 8 ч), когда упрочнение сплавов в результате распада невелико. В сплавах со скандием максимум твердости при 200 °C в



Фиг. 5. Влияние добавок Zn, Sc и (Zn + Sc) на изменение твердости $HB_{62,5}$ и удельного электросопротивления ρ сплава Mg-Y-Gd-Sm-Zr в процессе старения при температурах 175, 200, 225 и 250 °C

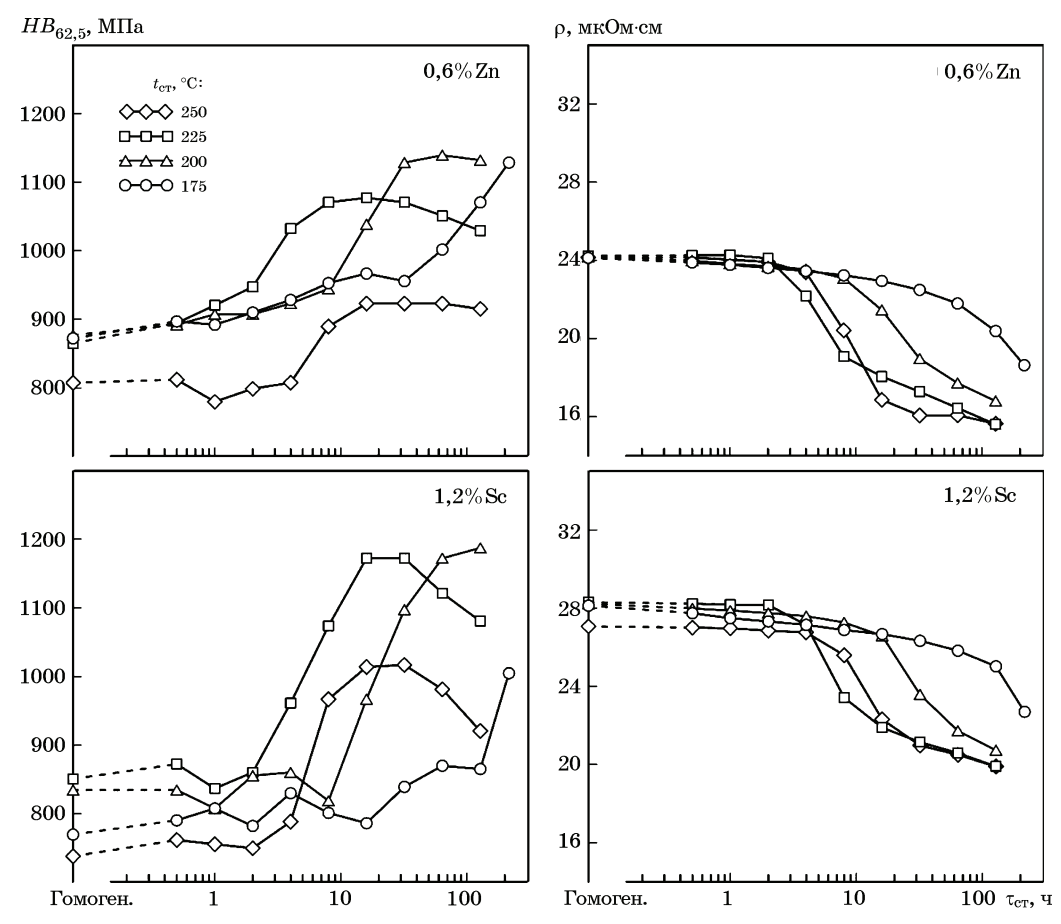
исследуемом интервале длительности старения не достигался. Дополнительного увеличения твердости также не наблюдалось, но присутствие скандия в сплавах сместило стадию значительного возрастания твердости в сторону больших выдержек при старении, причем с увеличением содержания скандия смещение проявилось в большей степени. Сплав, легированный (Zn + Sc), упрочнялся по кривой, близкой к кривой твердости сплава с 1% Zn, но значения удельного электросопротивления соответствовали значениям сплава с 1,2% Sc.

Во всех сплавах, состаренных при более высокой температуре 225 °C, на кривых изменения твердости присутствовал максимум. Сплавы упрочнялись при старении, стадия значительного возрастания твердости начиналась раньше. Сплавы с цинком уже не упрочнялись в той степени, как сплав Mg-Y-Gd-Sm-Zr, не содержащий каких-либо дополнительных элементов. Сплавы со скандием имели более высокие максимальные значения твердости, но участок кривой, где твердость не имела значительного повышения, попрежнему оставался продолжительным. Добавка двух элементов (Zn + Sc) обеспечивала большую твердость при старении на начальных этапах длительностью до 2 ч, однако затем характер кривой занимал промежуточное положение между кривой для сплава с цинком и кривой для сплава со скандием, а сами значения твердости не превышали значений для сплава без добавок.

При наиболее высокой температуре старения 250 °C сплав с добавкой 0,6% Zn упрочнялся схожим со сплавом без добавок образом, но не превосходил наибольших для него значений, в то время как у сплава с большим содержанием цинка упрочнение в результате старения было незначительным. По зависимости от длительности старения удельного электросопротивления можно видеть, что с увеличением содержания цинка распад в сплаве Mg-Y-Gd-Sm-Zr замедлялся. Скандий по-прежнему обеспечивал значительное упрочнение сплавов, которое превышало его в сплаве без добавок. При этом также прослеживалась следующая зависимость: по мере повышения содержания скандия стадия значительного возрастания твердости смещалась в сторону больших выдержек. Сплав с цинком и скандием, как и при температуре старения 225 °C, при температуре

250 °C занимал промежуточное положение между сплавами, содержащими отдельно цинк и скандий соответственно, но в общем его твердость не превосходила твердости сплава без добавок. По кривым удельного электросопротивления при температурах старения 225 и 250 °C заметно, что добавка цинка к сплаву, содержащему скандий, замедляла распад твердого раствора еще в большей степени, нежели добавка скандия.

В целом для всех шести исследованных сплавов наибольшие упрочнение и значения твердости достигались при температуре старения 200 °C. Поскольку при температуре старения 175 °C в рассматриваемом диапазоне выдержек (до 216 ч) не был достигнут максимум твердости, то возможно высокие значения твердости могли быть достигнуты и при этой температуре, но при еще более продолжительных выдержках. Однако рассматривать длительные выдержки старения уже нецелесообразно с учетом проведения ТО. Также с повышением температуры старения от 175 вплоть до 225 °C во всех исследуемых сплавах стадия заметного повышения твердости смещалась последовательно в сторону более коротких выдержек, тогда как для температуры старения 250 °C она снова начиналась позже. Наглядно это можно увидеть на фиг. 6, где показаны кривые изменения твердости и удельного электросопротивления при разных температурах старения на примере сплавов с 0.6% Zn и 1.2% Sc. C повышением температуры старения сплавы упрочнялись быстрее, достигая наиболее быстрого упрочнения при 225 °C, а при более высокой температуре упрочнение замедлялось снова. Таким же образом менялось и удельное электросопротивление, характеризующее распад пересыщенного магниевого твердого раствора. Как видно на фиг. 6, медленнее всего распад происходил при температуре старения 175 °C, где кривая удельного электросопротивления в зависимости от длительности старения занимала самое правое положение. При температуре 200 °C резкое снижение удельного электросопротивления начиналось раньше, а при 225 °C оно снижалось еще быстрее, когда обеднение магниевого твердого раствора происходит в большей степени, чем при других температурах. Однако при самой высокой температуре старения 250 °C распад снова замедлялся, а кривая удельного электросопротивления зани-



Фиг. 6. Влияние температуры старения на изменение твердости $HB_{62,5}$ и удельного электросопротивления ρ сплавов Mg-4,7% Y-4,5% Gd-2,1% Sm-0,6% Zn-0,8% Zr и Mg-4,9% Y-4,5% Gd-1,8% Sm-1,2% Sc-0,9% Zr

мала промежуточное положение между кривыми, построенными при 225 и 200 °C.

Такая задержка распада при более высокой температуре старения может характеризовать устойчивость сплавов к распаду твердого раствора, что является важным для их практического применения. Низкая устойчивость к распаду твердого раствора требует высоких скоростей охлаждения с температур ТО на твердый раствор. Напротив, высокая устойчивость к распаду позволяет получать пересыщенные твердые растворы при низких скоростях охлаждения без специальных охлаждающих сред, что, следовательно, может легко использоваться в промышленных условиях.

Для оценки устойчивости твердого раствора к распаду могут применяться ТТТ-диаграммы (time-temperature-transformation). Степень распада магниевого твердого раствора X, %, связана с изменением удельного электросопротивления и определяется величиной:

$$X = [(\rho_0 - \rho)/(\rho_0 - \rho_{\kappa})]100$$
,

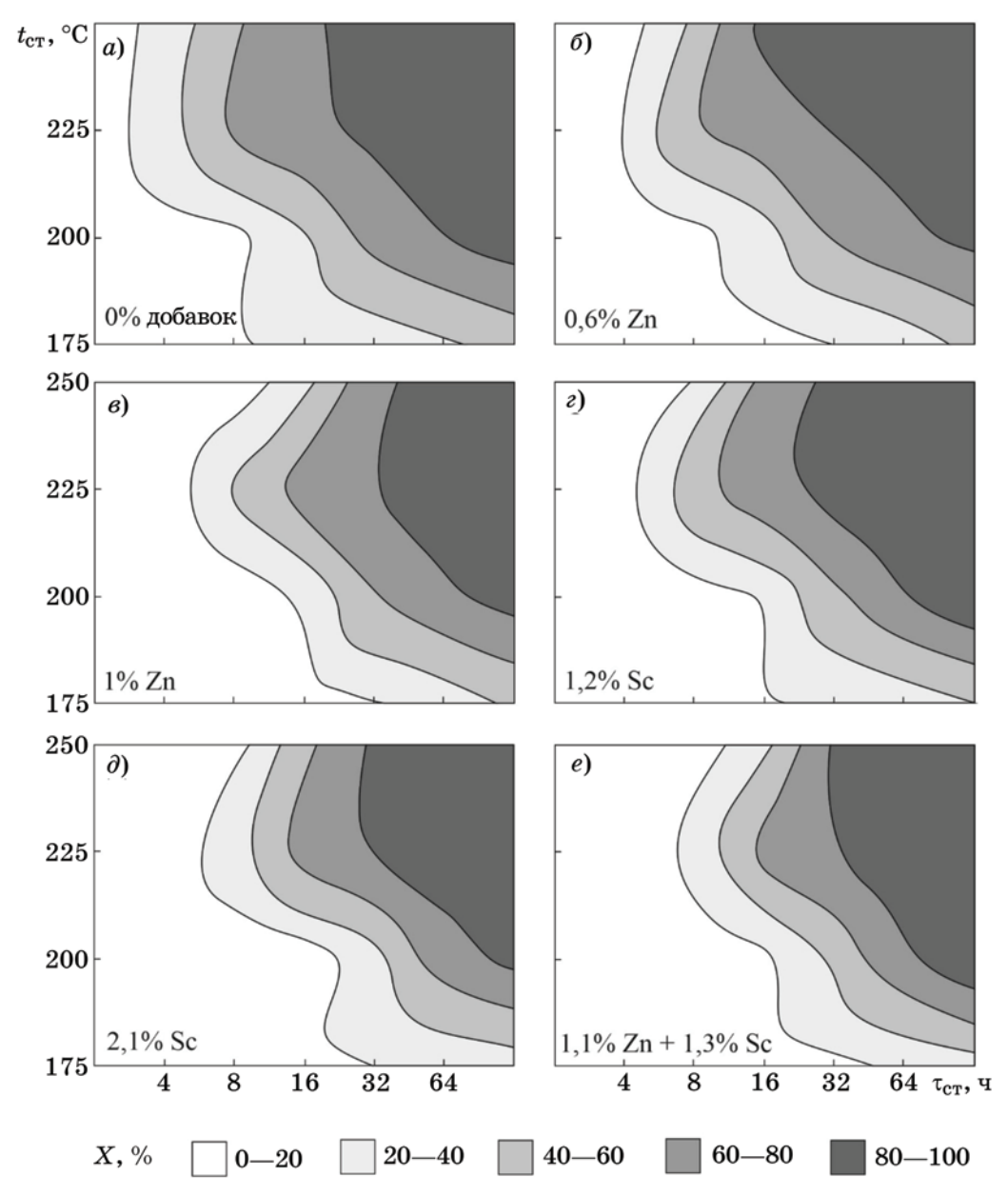
где ρ_0 , ρ , $\rho_{\rm k}$ — удельные электросопротивления соответственно после обработки на твердый раствор (гомогенизации), в текущий момент времени старения и после полного распада твердого раствора [5].

Учитывая, что в рассматриваемом в данной работе диапазоне выдержек старения полный распад магниевого твердого раствора, когда удельное электросопротивление становится постоянным, не достигался, за величину рк приняли наименьшее значение удельного электросопротивления, достигнутое при наибольшей выдержке старения для всех его температур. В табл. 4 приведены значения степени распада твердого раствора, рассчитанные при каждой температуре старения в зависимости от его длительности для каждого сплава. С учетом данных табл. 4 построены ТТТ-диаграммы (фиг. 7), отображающие степень распада магниевого твердого раствора в координатах длительности и температуры старения и фактически характеризующие скорость его протекания. Можно видеть, что кривые имеют сложную форму, у

 $Tаблица\ 4$ Значения степени распада магниевого твердого раствора $X,\ \%,$ в зависимости от длительности $au_{\rm cr}$ и температуры $t_{\rm cr}$ старения

		_ · ·			·CT			Cr -	•	
t_{cr} ,		Длительность старения $\tau_{\rm cr}$, ч								
$^{\circ}\mathrm{C}$	гомоген.	0,5	1	2	4	8	16	32	64	128
Mg-4,2% Y-4,4% Gd-2% Sm-0,3% Zr										
175	0	8	9	11	14	19	22	28	35	48
200	0	3	5	7	9	15	38	67	81	91
225	0	0	0	4	35	66	76	84	93	100
250	0	3	3	7	27	57	78	85	90	98
	Mg-4,7% Y-4,5% Gd-2,1% Sm-0,6% Zn-0,8% Zr									
175	0	3	4	6	8	11	14	19	27	44
200	0	2	4	6	7	13	32	61	75	86
225	0	0	0	2	24	60	72	81	90	100
250	0	0	1	3	9	44	85	95	95	100
Mg-5% Y-4,4% Gd-2% Sm-1% Zn-1,1% Zr										
175	0	0	2	5	6	9	12	17	26	43
200	0	0	3	4	5	8	22	59	77	87
225	0	0	0	0	4	44	70	81	91	100
250	0	1	2	2	4	7	33	76	88	97
	Mg	4,9%	Y-4,5%	6 Gd-1,	8% Sm	-1,2%	Sc-0,9	%Zr		
175	0	5	8	10	12	15	18	22	28	38
200	0	3	4	6	8	11	20	56	78	99
225	0	1	1	2	14	58	76	85	92	99
250	0	1	1	3	4	21	66	85	92	99
	Mg	4,9%	Y-4,5%	6 Gd-1,	8% Sm	-2,1%	Sc-0,7	%Zr		
175	0	5	7	9	11	13	17	20	23	30
200	0	0	0	2	2	3	7	31	71	85
225	0	0	1	1	4	35	72	82	90	97
250	0	4	4	5	6	11	56	83	91	100
$\rm Mg\text{-}5,1\%Y\text{-}4,3\%Gd\text{-}2,2\%Sm\text{-}1,1\%Zn\text{-}1,3\%Sc\text{-}0,8\%Zr$										
175	0	2	4	5	7	9	13	15	21	30
200	0	1	2	4	4	7	14	44	77	99
225	0	0	0	0	1	26	68	80	90	99
250	0	1	3	3	4	9	34	82	94	99

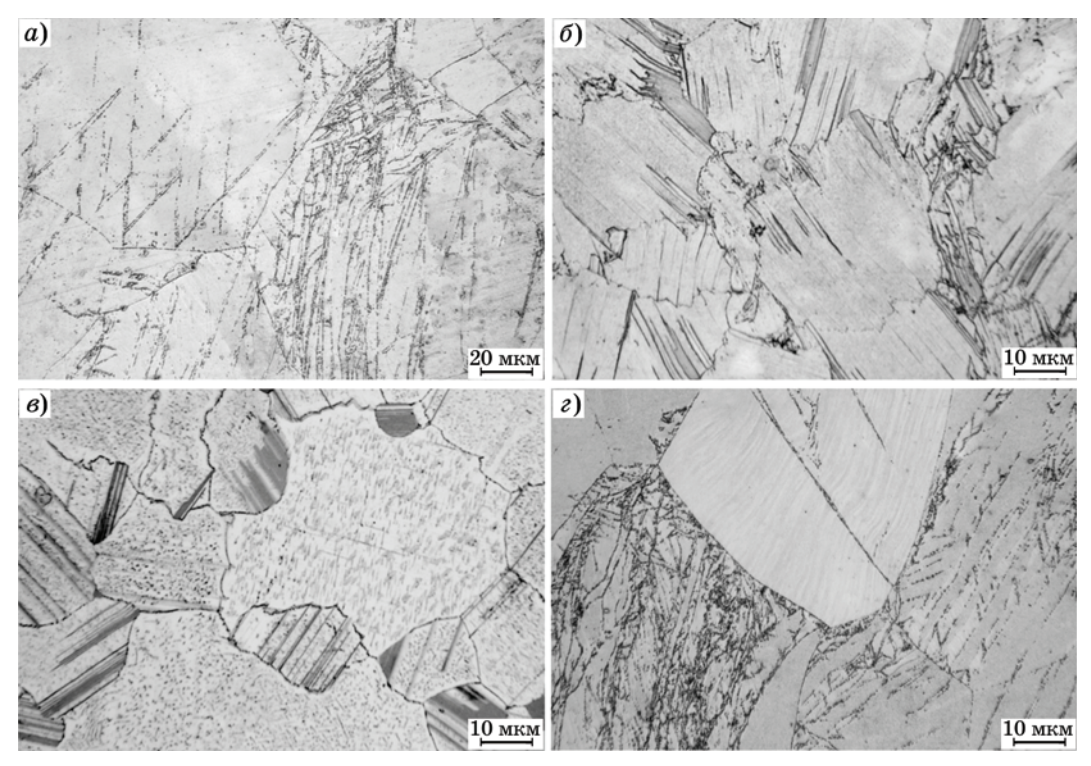
которой имеется максимум при температуре 225 °C. Это означает, что при температуре старения 225 °C обеспечивается наиболее быстрый распад магниевого твердого раствора в сплавах. При этом с повышением температуры старения до 250 °C, которая должна ускорять распад твердого раствора, наоборот, наблюдаются минимум на кривой и задержка распада магниевого твердого раствора. Задержка распада при температуре 250 °C может быть связана с трудностью зародышеобразования в полях упругих напряжений из-за возможной потери когерентности выделившихся частиц. В этом случае для образования зародыша необходима более высокая поверхностная энергия, чем для когерентных выделений. При температуре 250 °C этой энергии может быть недостаточно для ускорения механизмов диффузии, обеспечивающих быстрое зарождение и рост некогерентных частиц. Оценка устойчивости твердого раствора к распаду связана с положением дугообразных кривых на ТТТ-диаграммах. Чем больше они сдвинуты в сторону больших выдержек (вправо), тем более устойчив твердый раствор. Заметно, что с увеличением содержания цинка кривые смещаются вправо, а значит цинк повышает устойчивость магниевого твердого раствора, содержащего РЗМ. Такое же смещение кривых наблюдается и в сплавах со скандием, по мере увеличения его содержания в сплаве Mg-Y-Gd-Sm-Zr магниевый твердый раствор становится более устойчивым.



Фиг. 7. ТТТ-диаграммы распада магниевого твердого раствора для сплавов: a — Mg-4,2% Y-4,4% Gd-2% Sm-0,3% Zr; δ — Mg-4,7% Y-4,5% Gd-2,1% Sm-0,6% Zn-0,8% Zr; δ — Mg-5% Y-4,4% Gd-2% Sm-1% Zn-1,1% Zr; ϵ — Mg-4,9% Y-4,5% Gd-1,8% Sm-1,2% Sc-0,9% Zr; δ — Mg-4,9% Y-4,5% Gd-1,8% Sm-2,1% Sc-0,7% Zr; ϵ — Mg-5,1% Y-4,3% Gd-2,2% Sm-1,1% Zn-1,3% Sc-0,8% Zr

На фиг. 8 представлены микроструктуры исследуемых сплавов в состаренном состоянии после выдержки 128 ч. После старения при 225 °С (фиг. 8, а) в структуре сплава без добавок цинка и скандия видны дисперсные выделения богатых РЗМ вторых фаз, образовавшиеся при распаде пересыщенного магниевого твердого раствора. Они располагаются по границам зерен магния и по границам двойников деформации внутри зерен. Появление этих фаз возможно связано с деформацией, возникшей при изготовлении образцов. В сплаве с добавкой 1% Zn

наблюдались изменения в структуре в зависимости от температуры старения 200, 225 и 250 °C. После старения при 200 °C структура практически не отличалась от структуры сплава в гомогенизированном состоянии и состояла из пластинчатой и блочной LPSOфаз с еле заметными следами выделений по границам зерен магния. После более высокой температуры старения 225 °C (фиг. 8, δ) в зернах появился рябой контраст, выделения по границам стали очевидными и более четкими. Также отдельные выделения присутствовали и в теле зерна. С повышением



Фиг. 8. Микроструктуры состаренных сплавов: a — Mg-4,2% Y-4,4% Gd-2% Sm-0,3% Zr при 225 °C, 128 ч; δ — Mg-5% Y-4,4% Gd-2% Sm-1% Zn-1,1% Zr при 225 °C, 128 ч; δ — Mg-5% Y-4,4% Gd-2% Sm-1% Zn-1,1% Zr при 250 °C, 128 ч; δ — Mg-4,9% Y-4,5% Gd-1,8% Sm-1,2% Sc-0,9% Zr при 225 °C, 128 ч

температуры старения до 250 °C (фиг. 8, в) наблюдались более крупные продукты распада как по границам зерен, так и в теле зерен магниевого твердого раствора. Видимые мелкодисперсные выделения имели пластинчатую форму и располагались по определенным кристаллографическим плоскостям. Кроме того, около границ с выделившимися частицами наблюдались зоны, свободные от выделений. Структура сплава с 1,2% Sc при 225 °C (фиг. 8, г) выглядела идентично сплаву без дополнительных элементов с выделением предположительно таких же продуктов распада, в которых скандий не растворяется, а присутствует лишь в магниевом твердом растворе. Сплав, легированный совместно цинком и скандием, при всех температурах старения имел структуру, подобную сплаву, содержащему только цинк. Хотя определение состава и морфологии продуктов распада не входило в задачу данной работы, в общем установлено, что старение сплавов Mg-Y-Gd-Sm-Zr, содержащих цинк и (или) скандий, сопровождается упрочнением в результате распада пересыщенного магниевого твердого раствора с выделением мелкодисперсных частиц, очевидно богатых РЗМ и цинком.

Выводы. 1. Установлено, что цинк снижает, а скандий повышает температуру фазового превращения, протекающего в сплаве Mg-Y-Gd-Sm-Zr. Сплавы Mg-Y-Gd-Sm-Zr с разными добавками цинка и скандия упрочняются в процессе старения в результате распада пересыщенного магниевого твердого раствора. При этом с повышением температуры старения до 225 °C распад ускоряется, но при более высокой температуре (250 °C) снова замедляется. Цинк способствует упрочнению сплавов при более низких температурах старения 175 и 200 °C, а скандий при 175 и 200 °C существенно не влияет на кинетику старения, но может упрочнять сплавы при более высоких температурах старения — 225 и 250 °C.

2. Как цинк, так и скандий повышают устойчивость магниевого твердого раствора к распаду, поэтому упрочнение сплавов при старении с добавками этих металлов за счет распада пересыщенного магниевого твердого раствора замедляется. Добавка цинка может способствовать повышению предела прочности и пластичности сплавов Mg-Y-Gd-Sm-Zr в гомогенизированном состоянии, в то время как скандий с повышением его содержания скорее снижает как прочностные, так и пластические характеристики.

СПИСОК ЛИТЕРАТУРЫ

- Li, Y.Q. Recent research and advances in extrusion forming of magnesium alloys: A review / Y.Q. Li, F. Li, F.W. Kang, H.Q. Du, Z.Y. Chen // J. Alloys and Compounds. 2023. V.953. Art.170080. https:// doi.org/10.1016/j.jallcom.2023.170080
- Liu, B. Development and application of magnesium alloy parts for automotive OEMs: A review / B. Liu, J. Yang, X. Zhang, Q. Yang, J. Zhang, X. Li // J. Magnesium and Alloys. 2023. V.11. Is.1. P.15—47. https://doi.org/10.1016/j.jma.2022.12.015
- 3. Волкова, Е.Ф. Новые исследования в области легирования и деформации современных магниевых сплавов. Обзор / Е.Ф. Волкова, М.В. Акинина, И.В. Мостяев, В.А. Дуюнова, А.А. Алиханян // Металлы. 2022. №2. С.3—13. (Volkova, E.F. New studies in the field of alloying and deformation of modern magnesium alloys. Review / E.F. Volkova, M.V. Akinina, I.V. Mostyaev, V.A. Duyunova, A.A. Alikhanyan // Russian Metallurgy (Metally), 2022. V.3. P.191—199. https://doi.org/10.1134/S0036029522030120)
- You, S. Recent research and developments on wrought magnesium alloys / S. You, Y. Huang, K.U. Kainer, N. Hort. // J. Magnesium and Alloys. 2017. V.5. P.239— 253. https://doi.org/10.1016/j.jma.2017.09.001
- Rokhlin, L.L. Magnesium alloys containing rare earth metals: structure and properties / L.L. Rokhlin // Ser. Advances in Metallic Alloys (Publ. CRC Press). 2003. V.3 (February 20). 256 p.
- Mordike, B.L. Magnesium: properties-applicationspotential / B.L. Mordike, T. Ebert // Mater. Sci. Eng. A. 2001. V.302. P.37—45. https://doi.org/10.1016/ S0921-5093(00)01351-4
- Deng, Y. Enhancing strength and ductility of low RE content Mg-Gd-Y-Zr alloy via a novel thermomechanical treatment based on multi-directional forging / Y. Deng, H. Yan, Q. Li, J. Chen, W. Xia, B. Su, M. Wu, Y. Yu, M. Song // J. Alloys and Compounds. 2023. V.958. Art.170535. https://doi.org/ 10.1016/j.jallcom.2023.170535
- 8. Dong, J. Advances in degradation behavior of biomedical magnesium alloys: A review / J. Dong, T. Lin, H. Shao, H. Wang, X. Wang, K. Song, Q. Li // J. Alloys and Compounds. 2022. V.908. Art.164600. https://doi.org/10.1016/j.jallcom.2022.164600
- Lei, B. Role of Y on the microstructure and mechanical properties of Mg-Gd-Zr alloy / B. Lei, C. Wang, B. Jiang, S. Bai, Z. Dong, X. Qian, C. He, J. Xu, H. Yang, Q. Wang, F. Pan // Mater. Sci. Eng.: A. 2022. V.861. Art.144371. https://doi.org/10.1016/j.msea.2022.144371
- 10. Ren, X. Formation of nanocrystalline grain structure in an Mg-Gd-Y-Zr alloy processed by high-pressure torsion / X. Ren, X. An, S. Ni, Y. Huang, M. Song / / Mater. Characterization. 2022. V.191. Art.112088. https://doi.org/10.1016/j.matchar.2022.112088
- 11. Zhao, S. High temperature mechanical properties and strain hardening mechanism of directionally solidified Mg-Gd-Y alloy / S. Zhao, Y. Xu, C. Geng, X. Lin, Q. Tang, Y. Dong // Mater. Sci. Eng.: A. 2022. V.833. Art.142337. https://doi.org/10.1016/ j.msea.2021.142337
- 12. Wang, X. Effect of Gd content on microstructure and dynamic mechanical properties of solution-treated MgxGd-3Y-0.5Zr alloy / X. Wang, Y. Wang, C. Ni, Y. Fang, X. Yu, P. Zhang // Trans. of Nonferrous

- Metals Soc. of China. 2022. V.32. Is.7. P.2177—2189. https://doi.org/10.1016/S1003-6326(22)65939-9
- 13. Zhang, Q. Dynamic precipitation and recrystallization mechanism during hot compression of Mg-Gd-Y-Zr alloy / Q. Zhang, Q. Li, X. Chen, J. Zhao, J. Bao, Z. J. Chen // J. Mater. Res. Techn. 2021. V.15. P.37— 51. https://doi.org/10.1016/j.jmrt.2021.08.013
- 14. Li, J. Twin evolution in cast Mg-Gd-Y alloys and its dependence on aging heat treatment / J. Li, Z. Dong, X. Yi, D. Wu, R. Chen // J. Magnesium and Alloys. 2023. V.11. Is.7. P.2285—2298. https://doi.org/10.1016/j.jma.2021.09.023
- Liu, J. Study on microstructure and mechanical property in Mg-Gd-Y alloy by secondary extrusion process / J. Liu, J. Sun, Q. Chen, L. Lu, Y. Zhao. Crystals. 2021. V.11. Art.939. https://doi.org/ 10.3390/cryst11080939
- 16. Wang, B. Dislocation arrays, precipitate bands and free zones in forged Mg-Gd-Y-Zr alloy / B. Wang, B. Tang, C. You, Y. Wan, Y. Gao, Z. Chen, L. Lu, C. Liu, J. Wang // Mater. Sci. Eng.: A. 2020. V.775. Atr.138789. https://doi.org/10.1016/j.msea.2019.138789
- 17. Yu, S. Age-hardening and age-softening in nanocrystalline Mg-Gd-Y-Zr alloy / S. Yu, Wan Y., C. Liu, J. Wang // Mater. Characterization. 2019. V.156. Art.109841. https://doi.org/10.1016/j.matchar.2019.109841
- 18. Авт. свид. SU 1010880 A1. МПК С22С23/06. Сплав на основе магния / М.Е. Дриц, Л.Л. Рохлин, Н.И. Никитина [и др.]. заявл. №3342275/02 от 25.09.1981. Опубл. 20.10.1997.
- Drits, M.E. Mechanical properties of binary alloys of the Mg-Sm system / M.E. Drits, L.L. Rokhlin, N.P. Abrukina // Met. Sci. Heat Treat. 1985. V.27. P.508—510. https://doi.org/10.1007/BF00699580
- 20. Yuan, M. Effect of Sm addition on the microstructure and mechanical properties of Mg-xSm-0,4Zr alloys / M. Yuan, C. He, Z. Dong, B. Jiang, B. Song, N. Guo, T. Liu, S. Guo, F. Pan // J. Mater. Res. Techn. 2023. V.23. P.4814—4827. https://doi.org/10.1016/j.jmrt.2023.02.114
- 21. Лукьянова, Е.А. Влияние самария на свойства сплавов системы Mg-Y-Gd-Zr / Е.А. Лукьянова, Л.Л. Рохлин, Т.В. Добаткина, И.Г. Королькова, И.Е. Тарытина // Металлы. 2018. №1. С.58—63. (Luk'yanova, E.A. Effect of samarium on the properties of Mg-Y-Gd-Zr alloys // E.A. Luk'yanova, L.L. Rokhlin, T.V. Dobatkina, I.G. Korolkova, I.E. Tarytina // Russian Metallurgy (Metally). 2018. V.1 P.51—55. https://doi.org/10.1134/S0036029518010081
- 22. Lukyanova, E. Effect of samarium on the properties of hot-extruded Mg-Y-Gd-Zr alloys / E. Lukyanova, N. Martynenko, O. Rybalchenko, T. Dobatkina, I. Tarytina, N. Tabachkova, G. Rybalchenko, N. Andreeva, S. Dobatkin // Crystals. 2023. V.13. Is.10. Art. 1443. https://doi.org/10.3390/cryst13101443
- 23. Рохлин, Л.Л. Фазовые равновесия в сплавах системы Mg-Y-Gd-Sm / Л.Л. Рохлин, Е.А. Лукьянова, Т.В. Добаткина, Н.А. Аладьев, И.Г. Королькова // Металлы. 2012. №5. С.71—77. (Rokhlin, L.L. Phase equilibria in Mg-Y-Gd-Sm alloys / L.L. Rokhlin, E.A. Luk'yanova, T.V. Dobatkina, N.A. Alad'ev, I.G. Korol'kova // Russian Metallurgy (Metally). 2012. V.9. P.802—807. https://doi.org/10.1134/S0036029512090121)
- 24. Лукьянова, Е.А. Исследование растворимости самария в твердом растворе на основе магния, содержащем иттрий и гадолиний / Е.А. Лукьянова, Л.Л.

- Рохлин, Т.В. Добаткина, И.Г. Королькова // Металлы. 2012. №4. С.85-89. (Luk'yanova, E.A. Samarium solubility in an yttrium- and gadolinium-containing magnesium-based solid solution / E.A. Luk'yanova, L.L. Rokhlin, T.V. Dobatkina, I.G. Korol'kova // Russian Metallurgy (Metally). 2012. V.7. P.625—629. https://doi.org/10.1134/S0036029512070099)
- 25. Xu, D. Effect of long-period stacking ordered phase on microstructure, mechanical property and corrosion resistance of Mg alloys: A review / D. Xu, E. Han, Y. Xu // Progress in Natural Sci.: Mater. Intern. 2016. V.26. P.117—128. https://doi.org/10.1016/ j.pnsc.2016.03.006
- 26. Yang, J.Y. Effect of I(Mg₃YZn₆)-, W(Mg₃Y₂Zn₃)- and LPSO(Mg₁₂ZnY)-phases on tensile work-hardening and fracture behaviors of rolled Mg-Y-Zn alloys / J.Y. Yang, W.J. Kim // J. Mater. Res. Techn. 2019. V.8. P.2316—2325. https://doi.org/10.1016/j.jmrt.2019.04.016
- 27. Mao, P. Formation of long-period stacking-ordered (LPSO) structures and microhardness of as-cast Mg-4,5Zn-6Y alloy / P. Mao, Y. Xin, K. Han, Z. Liu, Z. Yang // Mater. Sci. Eng.: A. 2020. V.777. Art.139019. https://doi.org/10.1016/j.msea.2020.139019
- 28. Liu, W. Deformation-induced dynamic precipitation of 14H-LPSO structure and its effect on dynamic recrystallization in hot-extruded Mg-Y-Zn alloys / W. Liu, Y. Zhao, Y. Zhang, C. Shuai, L. Chen, Z. Huang, H. Hou // Intern. J. Plasticity. 2023. V.164. Art.103573. https://doi.org/10.1016/j.ijplas.2023.103573
- Dang, C. Effect of lamellar LPSO phase on mechanical properties and damping capacity in cast magnesium alloys / C. Dang, J. Wang, J. Wang, D. Yu, W. Zheng, C. Xu, R. Lu // J. Mater. Res. Techn. 2023. V.22. P.2589—2599. https://doi.org/10.1016/j.jmrt.2022.12.087
- 30. Deng, D. The main strengthening phases transformation and their strengthening mechanisms in ascast Mg-Gd-(Y)-Zn alloys: A review / D. Deng, R. Cheng, B. Jiang, M. Yang, H. Wang, Y. Zhou, C. Yu, Y. Ma, J. Peng, F. Pan // J. Alloys and Compounds. 2023. V.968. Art.171782. https://doi.org/10.1016/j.jallcom.2023.171782
- 31. Zhou, J. Optimizing LPSO phase to achieve superior heat resistance of Mg-Gd-Y-Zn-Zr alloys by regulating the Gd/Y ratios / J. Zhou, H. Yang, J. Xiao, B. Jiang, X. Luo, W. Xie, W. Li, Z. Dong, J. Song, J. Xu, G. Huang, D. Zhang, F. Pan // J. Mater. Res. Techn. 2023. V.25. P.4658—4673. https://doi.org/ 10.1016/j.jmrt.2023.06.278
- 32. Zheng, C. Controlling dynamic recrystallization via modified LPSO phase morphology and distribution in Mg-Gd-Y-Zn-Zr alloy / C. Zheng, S. Chen, M. Cheng, S. Zhang, Y. Li, Y. Yang // J. Magn. Alloys. 2023. V.11. Is.11. P.4218—4234. https://doi.org/ 10.1016/j.jma.2023.01.006
- 33. Zhou, J. Introducing lamellar LPSO phase to regulate room and high-temperature mechanical properties of Mg-Gd-Y-Zn-Zr alloys by altering cooling rate / J. Zhou, X. Luo, H. Yang, B. Jiang, W. Xie, Z. Dong, J. Song, J. Xu, G. Huang, D. Zhang, F. Pan // J. Mater. Res. Techn. 2023. V.24. P.7258—7269. https://doi.org/10.1016/j.jmrt.2023.04.252
- 34. Xue, K. Study of microstructural evolution, mechanical properties and plastic deformation behavior of Mg-Gd-Y-Zn-Zr alloy prepared by high-pressure tor-

- sion / K. Xue, Z. Luo, S. Xia, J. Dong, P. Li // Mater. Sci. Eng.: A. 2024. V.891. Art.145953. https://doi.org/10.1016/j.msea.2023.145953
- 35. Xia, X. A comparative study of the role of Zn in microstructures and the mechanical properties of Mg-Gd-Y-Zr alloys // X. Xia, D. Shu, E. Yang, C. Hu // J. Mater. Res. Techn. 2023. V.25. P.2903—2912. https://doi.org/10.1016/j.jmrt.2023.06.142
- 36. Lyu, S. A new cast Mg-Y-Sm-Zn-Zr alloy with high hardness / S. Lyu, G. Li, T. Hu, R. Zheng, W. Xiao, C. Ma // Mater. Lett. 2018. V.217. P.79—82. https://doi.org/10.1016/j.matlet.2018.01.041
- 37. Lyu, S. Achieving enhanced mechanical properties in Mg-Y-Sm-Zr alloy by altering precipitation behaviors through Zn addition / S. Lyu, W. Xiao, G. Li, R. Zheng, C. Ma // Mater. Sci. Eng.: A. 2019. V.746. P.179— 186. https://doi.org/10.1016/j.msea.2019.01.034
- 38. Lyu, S. Formation mechanism of the abnormal texture during extrusion in Mg-Y-Sm-Zn-Zr alloy / S. Lyu, W. Xiao, G. Li, D. Xia, Y. Huang, S. Gavras, N. Hort, R. Zheng, C. Ma // J. Alloys and Compounds. 2020. V.821. Art.153477. https://doi.org/10.1016/j.jallcom.2019.153477
- 39. Yuan, M. Microstructure evolution and mechanical properties of the Mg-Sm-Gd-Zn-Zr alloy during extrusion / M. Yuan, C. He, J. Zhao, H. Yang, Y. Song, B. Lei, X. Qian, Z. Dong, Q. Li, B. Jiang, F. Pan // J. Mater. Res. Techn. 2021. V.15. P.2518—2528. https://doi.org/10.1016/j.jmrt.2021.09.080
- 40. Guan, K. Microstructures and mechanical properties of as-cast Mg-Sm-Zn-Zr alloys with varying Gd contents / K. Guan, D. Egusa, E. Abe, J. Zhang, X. Qiu, Q. Yang, J. Meng // J. Magnesium and Alloys. 2022. V.10. P.1220—1234. https://doi.org/10.1016/j.jma.2021.09.013
- 41. Wang, J. Tailoring the corrosion behavior and mechanism of Mg-Gd-Zn alloys via Sc microalloying / J. Wang, Y. Li, Y. Yuan, L. Yang, L. Wu, F. Cao, L. Zhang, A. Atrens, X. Chen, F. Pan. // J. Mater. Res. Techn. 2023. V.27. P.5010—5028. https://doi.org/10.1016/j.jmrt.2023.10.239
- 42. Yang, Z. Synergistic effect of Mn + Sc additions on the microstructure evolution and mechanical properties of Mg-Gd-Y-Mn-Sc alloy / Z. Yang, G. Wang, C. Xu, M. Wang, T. Nakata, H. Xu, L. Geng, S. Kamado // J. Mater. Res. Techn. 2022. V.21. P.3756—3766. https://doi.org/10.1016/j.jmrt.2022.11.015
- 43. Yang, Z. Preparation of high-performance Mg-Gd-Y-Mn-Sc alloy by heat treatment and extrusion / Z. Yang, T. Nakata, C. Xu, G. Wang, L. Geng, S. Kamado // J. Alloys and Compounds. 2023. V.934. Art.167906. https://doi.org/10.1016/j.jallcom.2022.167906
- 44. Zhou, T. High ductility in solution-treated Mg-Sc-Yb-Mn-Zr alloy mediated by <c + a> dislocations / T. Zhou, Z. Liu, D. Yang, S. Meng, Z. Jia, D. Liu // J. Alloys and Compounds. 2021. V.873. Art.159880. https://doi.org/10.1016/j.jallcom.2021.159880
- 45. Авт. свид. SU 283590 A1. МПК C22C23/06. Деформируемый сплав на основе магния / И.И. Гурьев, М.Е. Дриц, З.А. Свидерская [и др.]. заявл. №1330863/22-1 от 13.05.1969. Опубл. 06.10.1970.
- 46. Дриц, М.Е. Исследование диаграмм состояния сплавов Mg-Y-Gd и Mg-Y-Sm / М.Е. Дриц, Л.Л. Рохлин, Н.И. Никитина, Н.П. Абрукина // Стабильные и метастабильные фазовые равновесия в металлических системах: сб. статей. М.: Наука, 1985. C.65—70.